

# ORIGINAL ARTICLE

## ***Cloning and Expression of the Catalytic Domain of Botulinum Neurotoxin Type E in *E. coli****

Hossein Rostami<sup>1</sup>,  
Seyed Jafar Moosavi<sup>2</sup>,  
Firouz Ebrahimi<sup>2</sup>,  
Abbas Hajizadeh<sup>3</sup>

<sup>1</sup> MSc Student in Cellular and Molecular Biology, Biology Research Center, Faculty of Science, Imam Hossein University, Tehran, Iran

<sup>2</sup> Department of Biology, Biology Research Center, Faculty of Science, Imam Hossein University, Tehran, Iran

<sup>3</sup> Biology Research Center, Faculty of Science, Imam Hossein University, Tehran, Iran

(Received April 28, 2012 ; Accepted January 9, 2013)

### **Abstract**

**Background and purpose:** Clostridium botulinum bacteria produces seven types of botulinum neurotoxins among which types A, B, E and F are responsible for human botulism. One of the treatments for botulism is the inhibition of botulinum neurotoxins catalytic domain activity by inhibitors. In this study, botulinum neurotoxin type E catalytic domain has been cloned in pET28a vector and expressed in *E. coli* BL21 (DE3).

**Materials and methods:** In order to cloning of the catalytic domain, the genomic DNA was extracted. The sequence was amplified by Polymerase chain reaction (PCR) and was inserted into pGEM-T Easy vector. Then, the recombinant vector was transferred to *E. coli* DH5α cells. Afterwards, the cloning product was removed from pGEM-T Easy vector and inserted into pET28a vector using ligation reaction. Finally, the recombinant pET28a was transferred into *E. coli* BL21 (DE3) cells. Expression of catalytic domain was studied in standard conditions.

**Results:** The results of enzymatic digestion and PCR reaction confirmed that cloning and subcloning occurred in pGEM-T Easy and pET28a vectors, respectively. The process was verified by sequencing. Finally, expression of this sequence was confirmed by the sodium dodecyl sulfate polyacrylamide gel electrophoresis (SDS-PAGE) and Western blot analysis.

**Conclusion:** The cloning of the sequence was accurately conducted in pGEM-T Easy and pET28a vectors. Also, the results showed that the expression of this sequence has been performed properly.

**Keywords:** Botulinum neurotoxin type E, catalytic domain, cloning, expression

J Mazand Univ Med Sci 2013; 23(97): 148-157 (Persian).

## همسانه سازی و بیان ناحیه کاتالیتیک نوروتوكسین بوتولینوم تیپ E در باکتری *E.coli*

حسین رستمی<sup>۱</sup>

سید جعفر موسوی<sup>۲</sup>

فیروز ابراهیمی<sup>۳</sup>

عباس حاجی زاده<sup>۳</sup>

### چکیده

**سابقه و هدف:** باکتری های کلستریدیوم بوتولینوم هفت نوع نوروتوكسین تولید می کنند که تیپ های A، B، C، D، E، F و G هستند. این تیپ های نوروتوكسین می توانند از طریق مهار فعالیت آنزیمی ناحیه کاتالیتیک نوروتوكسین بوتولینوم توسط مهار کننده ها باشد. در این مطالعه، ناحیه کاتالیتیک نوروتوكسین بوتولینوم تیپ E در وکتور بیانی pET28a همسانه سازی و در باکتری میزبان *E. coli* سویه (BL21(DE3)) بیان شده است.

**مواد و روش ها:** به منظور همانند سازی ناحیه مورد نظر، DNA ژنومی باکتری استخراج گردید. با استفاده از واکنش PCR توالي مورد نظر تکثیر شد. سپس محصول PCR در وکتور pGEM-T Easy وارد و وکتور نوترکیب به سلول های میزبان *E. coli* DH5α سویه (BL21(DE3)) بیان شده است. در نهایت پلاسمید نوترکیب به باکتری *E. coli* سویه (BL21(DE3)) انتقال داده شد. بیان ناحیه کاتالیتیک در شرایط استاندارد مورد مطالعه قرار گرفت.

**یافته ها:** نتایج حاصل از برش آنزیمی و واکنش PCR بیانگر همانند سازی و زیر همانند سازی به ترتیب در وکتورهای pET28a و pGEM-T Easy بود. نتایج تعیین توالي نیز صحت حضور توالي مورد نظر را تأیید کرد. در نهایت بیان قطعه مورد مطالعه، با استفاده از ژل SDS-PAGE و آزمایش وسترن بلات تأیید گردید.

**استنتاج:** همسانه سازی توالي مورد مطالعه، به ترتیب در وکتورهای pET28a و pGEM-T Easy با صحت کامل انجام گرفت. همچنین نتایج بیان و تأیید محصول بیانی در باکتری *E. coli* BL21(DE3) بیانگر صحت بیان محصول مورد نظر بود.

**واژه های کلیدی:** نوروتوكسین بوتولینوم تیپ E، ناحیه کاتالیتیک، همسانه سازی، بیان

### مقدمه

کلستریدیوم بوتولینوم یک باکتری گرم مثبت، بی هوایی و باسیلی شکل است. این باکتری دارای هفت تیپ توکسین شامل تیپ های A، B، C، D، E، F و G بوده که در بین آن ها تیپ های A، B، E و به ندرت F بوده که در بین آن ها تیپ های A، B، E و به ندرت F

بوتولینوم یک سندروم بسیار خطرناک است که به اشکال مختلف با منشاء غذایی، ناشی از زخم، و بوتولینوم نوزادان مشاهده می شود. این سندروم در اثر آلوده شدن به نوروتوكسین تولید شده توسط دسته ای از باکتری های جنس کلستریدیا ایجاد می شود.

مؤلف مسئول: سید جعفر موسوی - تهران: بزرگوار شهید بابایی، دانشگاه جامع امام حسین (ع)، دانشکده و پژوهشکده علوم پایه  
 ۱. دانشجوی کارشناسی ارشد علوم سلوی و مولکولی، مرکز تحقیقات زیست شناسی، دانشکده و پژوهشکده علوم پایه، دانشگاه جامع امام حسین (ع) تهران، ایران  
 ۲. گروه زیست شناسی، مرکز تحقیقات زیست شناسی، دانشکده و پژوهشکده علوم پایه، دانشگاه جامع امام حسین (ع) تهران، ایران  
 ۳. مرکز تحقیقات زیست شناسی، دانشکده و پژوهشکده علوم پایه، دانشگاه جامع امام حسین (ع) تهران، ایران  
 تاریخ دریافت: ۱۳۹۱/۲/۹ تاریخ تصویب: ۱۳۹۱/۵/۱ تاریخ ارجاع چهت اصلاحات: ۱۳۹۱/۹/۲۰

ایجاد فلچ شل (فلچ سست شونده) می‌گردد<sup>(۸,۷)</sup>. مبنای درمان بوتولیسم، مراقبت‌های بهداشتی و ایمونیزاسیون غیر فعال با آنتی‌توکسین اسبی است. در حال حاضر آنتی‌توکسین اسبی سه ظرفیتی (Anti-A, B, E) در ایالات متحده امریکا دارای مجوز رسمی از CDC بوده، در دسترس است که بعد از در معرض قرار گرفتن سم می‌توان از آن استفاده کرد. تزریق زود هنگام و موقع عرض این آنتی‌توکسین، از ادامه تخریب و آسیب‌های عصبی و شدت بیماری جلوگیری می‌کند اما نمی‌تواند فلچ ایجاد شده را احیاء نماید<sup>(۹)</sup>. استفاده از این آنتی‌سرم‌ها دارای محدودیت درمانی می‌باشد لذا محققین در سال‌های اخیر توجه خاصی به استفاده از مهارکننده‌هایی دارند که بتوانند بعد از ورود توکسین به سلول، فعالیت کاتالیتیک زنجیره سبک را مهار کنند. با توجه به تحقیقات انجام گرفته، طراحی و ساخت مهارکننده‌های مناسب علیه فعالیت زنجیره سبک نوروتوکسین بوتولینوم، می‌تواند در آینده منجر به تولید داروی مؤثرتری برای درمان بیماران مبتلا به بوتولیسم گردد<sup>(۱۰)</sup>.

Grant و همکاران<sup>(۲۰۰۶)</sup> از مولکول‌های کوچک غیر پیتیدی به منظور مهار فعالیت زنجیره سبک نوروتوکسین بوتولینوم تیپ A استفاده کردند که نتایج قابل قبولی در مهار فعالیت سم به دست آمد<sup>(۱۶)</sup>. Kumaran و همکاران<sup>(۲۰۰۸)</sup> از مهارکننده‌های تراپتیدی به منظور اتصال به جایگاه فعال سم تیپ A استفاده کردند<sup>(۱۱)</sup>.

Roxas-Duncan و همکاران<sup>(۲۰۰۹)</sup> از مشتقات مولکول کوچک کوینولینول (Quinolinol) به عنوان مهارکننده فعالیت بخش آنزیمی نوروتوکسین تیپ A استفاده کردند که نتایج مثبتی در مهار سم به دست آمد<sup>(۱۷)</sup>. Kumar و همکاران<sup>(۲۰۱۲)</sup> از مهارکننده‌های پیتیدی جدیدی برای مهار فعالیت آنزیمی تیپ A استفاده کردند<sup>(۱۸)</sup>.

برای انسان مسمومیت‌زا هستند و بیماری بوتولیسم ایجاد می‌کنند<sup>(۱,۲)</sup>. بوتولیسم در نقاط مختلف دنیا گزارش شده است و یک مشکل سلامت عمومی در بسیاری از کشورها از جمله ایران می‌باشد<sup>(۴,۳)</sup>. به طوری که طبق گزارش توکلی و همکاران<sup>(۱۳۸۸)</sup> در یک دوره ۵ ساله (۱۳۸۶-۱۳۸۲) ۳۴۱ مورد مشکوک به مسمومیت غذایی بوتولیسم در ۱۱ استان (کردستان، گلستان، زنجان، گیلان، تهران، مرکزی، قزوین، آذربایجان شرقی و غربی، همدان و خراسان) ایران ثبت گردید. از ۴۰ مورد تعیین تیپ شده، تیپ E با ۱۳ مورد (۳۲/۵ درصد) و تیپ A با ۱۱ مورد (۲۷/۵ درصد) به عنوان شایع‌ترین تیپ‌های ایجاد‌کننده مسمومیت غذایی بوتولیسم در ایران مطرح هستند. در این گزارش مشخص گردید که موارد وقوع بیماری در سه سال پایانی روبه افزایش بوده است، به طوری که تعداد موارد وقوع مسمومیت غذایی بوتولیسم در سال ۱۳۸۶ حدود ۲/۱ برابر سال ۱۳۸۲ بوده است<sup>(۴)</sup>. بنابراین تلاش در زمینه پیشگیری و درمان بوتولیسم در ایران امری ضروری به نظر می‌رسد.

توکسین باکتری یک پلی‌پپتید با وزن مولکولی ۱۵۰ کیلو دالتون است. این پروتئین توسط پروتئازهای خود باکتری یا سلول میزبان به دو زنجیره سنگین (۱۰۰ کیلو دالتون) و سبک (۵۰ کیلو دالتون) شکسته می‌شود. زنجیره سبک با یک پیوند دی‌سولفیدی به زنجیره سنگین متصل می‌شود. زنجیره سنگین در انتهای آمینی (N-terminal) دارای ناحیه انتقال دهنده (Translocation domain(TD)) و در انتهای کربوکسیلی (C-terminal) دارای ناحیه اتصال دهنده می‌باشد زنجیره سبک توکسین بوتولینوم (ناحیه کاتالیتیک) یک متابولیپروتئاز می‌باشد که با شکستن یکی از سه پروتئین کمپلکس<sup>1</sup> SNAP25 (سیناپتوبروین، Synaptosomal-associated protein, 25kDa) و سینتاکسین (Syntaxin) مانع ترشح استیل کولین در انتهای سلول‌های اعصاب حرکتی شده، در نتیجه موجب

1. Soluble N-ethylmaleimide sensitive factor attachment receptor  
2. Synaptosomal-associated protein, 25kDa

## مواد و روش‌ها

تکشیر توالی نوکلئوتیدی کد کننده ناحیه کاتالیتیک با PCR روش

ابتدا توالی نوکلئوتیدی کد کننده زنجیره سبک نوروتوكسین بوتولینوم تیپ E با شماره دسترسی GQ244314 از بانک ژن استخراج شد. توالی زنجیره سبک شامل ۱۲۶۳ جفت باز ابتدای توالی کد کننده نوروتوكسین (که در بانک ژنوم به ثبت رسیده است) می‌شود که ۴۲۱ اسید آمینه را کد می‌کند. طراحی پرایمر با نرم افزار Oligo انجام گرفت و توسط شرکت سیناژن ایران سنتز شد. پرایمر بالادست دارای جایگاه برشی آنزیم محدود الاثر Nde I و پرایمر پایین دست دارای جایگاه برشی آنزیم محدود الاثر Hind III است:

توالی پرایمر بالادست:

5'-ATCCATATGATGCCAAAAATTAGTT-3'

توالی پرایمر پایین دست:

5'-ACAAAGCTTTATTCCTTATGCCTTTAC-3'

باکتری کلستریدیوم بوتولینوم تیپ E از پژوهشکده اکولوزی دریای خزر تهیه شد و در محیط کشت مایع در دمای ۳۰ درجه سانتی گراد در جاربی هوایی کشت داده شد و پس از ۲۴ ساعت، DNA ژنومی آن با استفاده از روش فنل کلروفرم تخلیص گردید. واکنش زنجیره‌ای پلیمراز (PCR) معمولی به منظور تکشیر DNA با آنزیم Taq پلیمراز (سیناژن، ایران)، در حجم ۲۵ میکرو لیتر با استفاده از دستگاه ترموسایکلر (بیوراد، امریکا) انجام گرفت. هر واکنش شامل ۳ میلی مولار MgCl<sub>2</sub>، ۴ پیکومول از هر dNTPs، ۰.۵ نانوگرم DNA الگو، ۰.۲ میلی مولار PCR، در دمای اتصال ۲/۵ میکرو لیتر بافر 10X، در دمای اتصال ۵۸ درجه سانتی گراد بهینه شد. به منظور جلوگیری از ایجاد جهش در توالی ژنومی واکنش نهایی PCR با استفاده از آنزیم pfu پلیمراز (فرمتاز، اکراین) در حجم

Kukreja و همکاران (۲۰۱۰) طی آزمایشات خود اساس مولکولی فعالیت اندوبیتیدازی نوروتوكسین تیپ E را مشخص کردند(۱۹). بیشتر تحقیقات انجام شده در زمینه استفاده از مهارکننده علیه فعالیت نوروتوكسین تیپ A بوده، تحقیقات مشابه انجام گرفته در خصوص تیپ E خیلی کمتر می‌باشد. بررسی مقالات منتشر شده در این زمینه نشان می‌دهد که تاکنون مهارکننده مناسبی که بتوان از آن به منظور درمان بوتولینوم استفاده کرد، طراحی و تولید نشده است. در آزمایشات بررسی اثر و پتانسیل مهارکننده‌های طراحی شده توکسین فعال مورد نیاز است که تهیه آن از باکتری کلستریدیوم بوتولینوم مشکلات خاص خود را دارد. از طرفی تحقیقات در این زمینه نشان داده است که ناحیه کاتالیتیک سم (زنجیره سبک) به تنهایی و بدون حضور زنجیره سنگین در شرایط بافری مناسب، فعالیت آنزیمی خود را حفظ کرده، سوبسترای خود را می‌شکند(۱۱). تولید نوترکیب بخش آنزیمی توکسین (زنجیره سبک) دارای مزیت‌هایی است و مشکلات استفاده از توکسین تخلیص شده از باکتری را ندارد.

Agarwal و همکاران (۲۰۰۴) به منظور تعیین ساختار ناحیه کاتالیتیک نوروتوكسین بوتولینوم تیپ E اقدام به بیان نوترکیب این پلی‌پیتید کردند. ناحیه مذکور را در وکتور pET32 به خوبی بیان و تخلیص کرده، نشان دادند که پلی‌پیتید نوترکیب تولید شده بدون حضور دیگر نواحی سم دارای فعالیت آنزیمی می‌باشد(۲۰). با توجه به فراوانی بالای آلوده شدن به توکسین تیپ E در کشور و عدم وجود داروی مؤثر بدون محدودیت‌های اشاره شده در بالا، همسانه‌سازی و بیان نوترکیب ناحیه کاتالیتیک نوروتوكسین بوتولینوم تیپ E در این تحقیق مورد توجه قرار گرفت که می‌تواند در مطالعات بعدی، در زمینه طراحی و ساخت مهارکننده مناسب علیه آن مورد استفاده قرار گیرد.

برش با استفاده از ژل آگارز با دمای ذوب پایین (Low melting) و کیت استخراج از ژل (Bioneer، کره جنوبی) تخلیص گردیدند.

واکنش الحاق توالی مورد نظر با وکتور (+) pET28a(+) برش خورده با آنزیم T4 لیگاز (تاکارا، ژاپن) در حجم نهایی ۲۰ میکرو لیتر، به مدت ۳۰ دقیقه در دمای ۱۶ درجه سانتی گراد انجام گرفت. محصول واکنش الحاق به سلول‌های مستعد *E. coli* سویه LB21 DE3 BL21 به روش شوک حرارتی انتقال داده شد و باکتری‌ها روی محیط کشت لوریا برتونی آگار دار (LB Agar) حاوی کانامایسین (غله ۸۰ µg/ml) کشت داده شدند. به منظور تأیید همسانه‌سازی توالی مورد نظر، کلنی‌های موجود، در محیط LB مایع حاوی کانامایسین (۸۰ µg/ml) کشت داده شدند و با روش لیز قلیایی استخراج پلاسمید انجام گرفت. برای پلاسمیدها واکنش PCR مطابق شرایط تکثیر اولیه توالی گذاشته شد و سپس برای پلاسمیدهای PCR مثبت، واکنش هضم آنزیمی با آنزیم‌های برشی I و Nde III به Hind III بروزی و تأیید بیان پروتئین توالی مورد نظر در دمای ۳۷ درجه سانتی گراد، به مدت ۵ ساعت، تحت القای IPTG (Isopropyl β-D-thiogalactopyranoside) میلی مولار بیان شد. از ژل SDS-PAGE ۱۲ درصد برای تأیید صحت بیان استفاده گردید (۲۲). برای تأیید پروتئین نوترکیب بیان شده، از تکنیک ایمونوبلات با آنتی‌سرم ضد بوتولینوم تیپ E به شرح زیر استفاده شد: پس از جداسازی باندهای پروتئینی نمونه بر روی ژل SDS-PAGE، این باندها با کمک سیستم وسترن بلات (Blotting Western) با بافر الکتروبلات (گلایسین ۱۵ میلی مولار، تریس ۲۰ میلی مولار و متانول ۲۰ درصد) روی کاغذ نیتروسلولز منتقل شد. کاغذ نیتروسلولز به مدت ۱۵ ساعت در بافر PBST (Phosphate Buffer Saline، ۵% Tween-20) حاوی

۲۵ میکرو لیتر انجام گرفت. واکنش PCR شامل ۵ میلی مولار MgSO<sub>4</sub>، ۴ پیکومول از هر پرایمر، ۵۰ نانو گرم از الگو، ۰/۲ میلی مولار dNTPs و ۲/۵ میلی لیتر از بافر 10X PCR در دمای اتصال ۵۸ درجه سانتی گراد بود. مراحل PCR شامل: مرحله واسرت است ابتدایی در دمای ۹۴ درجه سانتی گراد به مدت ۱۰ دقیقه، ۳۰ دوره سه مرحله‌ای شامل واسرت است ابتدایی در دمای ۹۴ درجه سانتی گراد به مدت ۴۵ ثانیه، اتصال پرایمرها به رشته الگو در دمای ۵۸ درجه سانتی گراد به مدت ۴۵ ثانیه و تکثیر قطعه مورد نظر در دمای ۷۲ درجه سانتی گراد به مدت ۲ دقیقه و ۳۰ ثانیه و در پایان مرحله تکثیر نهایی در دمای ۷۲ درجه سانتی گراد به مدت ۵ دقیقه بود. محصول PCR با ژل آگارز یک درصد مورد تأیید قرار گرفت. محصول PCR با استفاده از کیت تخلیص DNA فرمتاز خالص‌سازی شد (۱۹).

#### همسانه‌سازی و زیر همسانه سازی

برای محصول تخلیص شده PCR و وکتور pGEM-T Easy واکنش الحاق، به سلول‌های مستعد *E. coli* سویه DH5α به روش شوک حرارتی انتقال داده شد و باکتری‌ها روی محیط کشت مک‌کانکی آگار دار (Mac-Conky Agar) حاوی آمپسیلین (غله ۸۰ µg/ml) کشت داده شدند (۲۱). برای تأیید همسانه‌سازی توالی مورد نظر از کلنی‌های سفید رنگ، کشت داده شد و با روش لیز قلیایی استخراج پلاسمید صورت گرفت. برای پلاسمیدها واکنش PCR مطابق شرایط تکثیر اولیه توالی گذاشته شد. سپس برای پلاسمیدهای PCR مثبت، واکنش هضم آنزیمی با آنزیم‌های برشی I و Nde III (فرمتاز، اکراین) به مدت ۴ ساعت انجام شد. تأیید نهایی با تعیین توالی قطعه مورد نظر (سیناکلون، ایران) انجام گرفت.

پلاسمید نوترکیب (pGEM-T Easy) مورد نظر و همچنین وکتور (+) pET28a(+) با آنزیم‌های محدود الاثر I و Hind III و Nde I به مدت ۲ ساعت در دمای ۳۷ درجه سانتی گراد برش داده شدند. محصولات

بررسی و تأیید بیان پروتئین توالی مورد نظر در دمای ۳۷ درجه سانتی گراد، به مدت ۵ ساعت، تحت القای IPTG (Isopropyl β-D-thiogalactopyranoside) میلی مولار بیان شد. از ژل SDS-PAGE ۱۲ درصد برای تأیید صحت بیان استفاده گردید (۲۲). برای تأیید پروتئین نوترکیب بیان شده، از تکنیک ایمونوبلات با آنتی‌سرم ضد بوتولینوم تیپ E به شرح زیر استفاده شد: پس از جداسازی باندهای پروتئینی نمونه بر روی ژل SDS-PAGE، این باندها با کمک سیستم وسترن بلات (Blotting Western) با بافر الکتروبلات (گلایسین ۱۵ میلی مولار، تریس ۲۰ میلی مولار و متانول ۲۰ درصد) روی کاغذ نیتروسلولز منتقل شد. کاغذ نیتروسلولز به مدت ۱۵ ساعت در بافر PBST (Phosphate Buffer Saline، ۵% Tween-20)

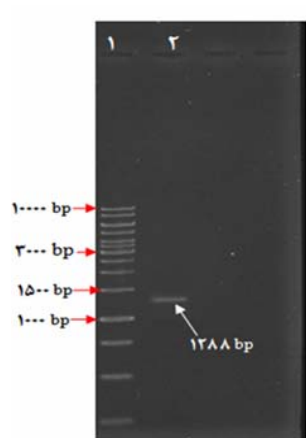
Taq و pfu (تصاویر شماره ۱ الف و ب) نشان داد این قطعه به خوبی تکثیر پیدا کرده است. همچنین نتیجه تخلیص آن با کیت نیز خوب بود (تصویر شماره ۱ ج).

همسانه سازی در وکتور *pGEM-T Easy* نتیجه همسانه سازی در وکتور *pGEM-T Easy* که در تصویر شماره ۲ الف آمده است بیانگر موفقیت آمیز بودن همسانه سازی ژن مورد مطالعه بود. همچنین برش وکتور *pGEM* نوترکیب به وسیله آنزیم های *I Nde* و *Hind III* به علت وجود دو جایگاه برش در وکتور که در دو سوی قطعه حضور دارند، قطعه مورد نظر از وکتور خارج شده، در ژل الکتروفورز یک باند مجزا تشکیل داد. همچنین هضم تک آنزیمی توسط *I Nde* انجام شد که در نتیجه پلاسمید نوترکیب به صورت خطی درآمد (تصاویر شماره ۲ ب و ج). در نهایت صحت همسانه سازی با تعیین توالی قطعه تأیید شد.

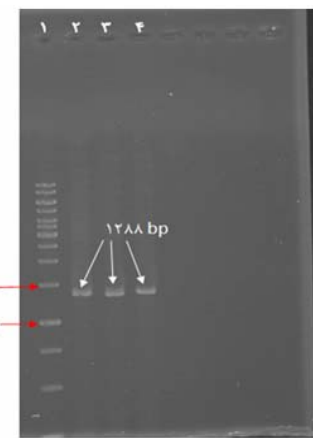
۵ درصد شیرخشک در دمای ۴ درجه سانتی گراد قرار داده شد. پس از مرحله شست و شو (سه بار با بافر PBST کاغذ نیتروسلولز، با آنتی بادی ضد بوتولینوم تیپ E، با رقت نهایی ۱:۳۰۰۰ در بافر PBST به مدت یک ساعت در شیکر انکوباتور در دمای ۳۷ درجه سانتی گراد انکوبه گردید. در مرحله بعد، کانژوگه اسپی با رقت ۱:۱۰۰۰۰ اضافه شد و به مدت یک ساعت در دمای ۳۷ درجه سانتی گراد در شیکر انکوباتور قرار داده شد. در مرحله آخر بعد از شستشو برای آشکارسازی باند مورد نظر از ۱۰ میلی لیتر بافر آشکارساز (تریس ۵۰ میلی مولار حاوی ۶ میلی گرم دی آمینو بنزوئیدین و ۱۰ میکرو لیتر آب اکسیژنه) استفاده شد. بعد از آشکارسازی باند مورد نظر واکنش با آب مقطر متوقف گردید (۲۳).

## یافته ها

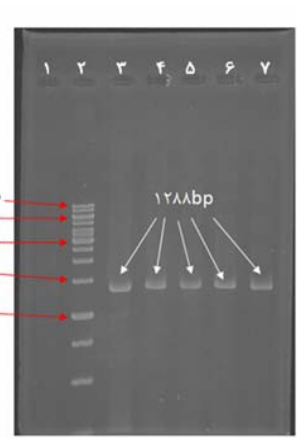
تکثیر تووالی کد کننده ناحیه کاتالیتیک نوروتوكسین بوتولینوم تیپ E با PCR بررسی نتایج تکثیر قطعه مورد نظر با آنزیم های



شکل ۱.ج

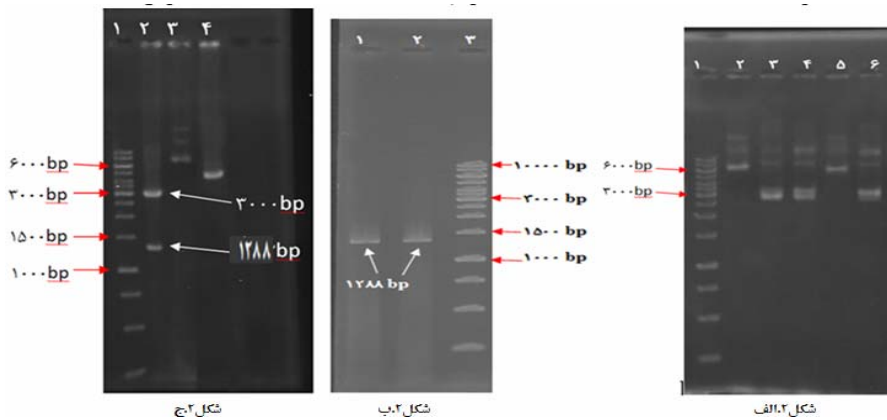


شکل ۱.ب



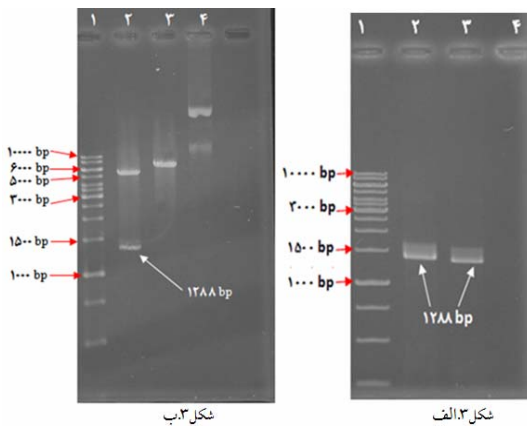
شکل ۱.الف

تصویر شماره ۱ الف: تصویر محصول واکنش PCR ناحیه کاتالیتیک با آنزیم TaqDNA polymerase (۱۲۸۸ bp) روی ژل آگارز ۱ درصد. چاهک ۱ کنترل منفی بوده و همه مواد واکنش PCR را دارا بوده و از DNA ژنومی تیپ A به عنوان الگو استفاده شده است. چاهک ۲ مارکر DNA و چاهک های ۳، ۴، ۵، ۶ و ۷ نتایج واکنش PCR به ترتیب در دماهای اتصال ۵۰، ۵۲، ۵۴، ۵۶ و ۵۸ درجه سانتی گراد می باشد. ب: تصویر محصول واکنش PCR ناحیه کاتالیتیک با آنزیم Pfu DNA polymerase (۱۲۸۸ bp) روی ژل آگارز ۱ درصد. چاهک ۱ مارکر DNA و چاهک های ۲، ۳ و ۴ نتایج واکنش PCR به ترتیب در دماهای اتصال ۵۴، ۵۶ و ۵۸ درجه سانتی گراد می باشد. ج: تصویر محصول تخلیص شده از روى ژل با دمای ذوب پایین. چاهک ۱ مارکر DNA و چاهک ۲ محصول PCR تخلیص شده می باشد.



تصویر شماره ۲ الف: تصویر الکتروفورز پلاسمیدهای pGEM تخلیص شده بر روی ژل آگارز ۱ درصد پس از فرایند تخلیص پلاسمید. چاهک ۱ مارکر DNA و چاهک های ۲، ۳، ۴، ۵ و ۶ پلاسمیدهای تخلیص شده کلئی های مختلف است. در این شکل الگوی قرار گیری پلاسمیدهای چاهک ۲ و ۵ با یقیه تفاوت دارد و احتمال حضور قطعه در آن ها خوبی بالا است. ب: تصویر نتایج PCR و کتور pGEM جهت بررسی و تایید همسانه سازی در کلئی های نوترکیب روی ژل آگارز ۱ درصد. چاهک های ۱ و ۲ نتیجه PCR مثبت دو کلئی می باشد. چاهک ۳ مارکر DNA است. ج: تصویر نتایج برش آنزیمی و کتور pGEM جهت بررسی و تایید همسانه سازی قطعه مورد مطالعه روی ژل آگارز ۱ درصد چاهک ۱ مارکر DNA، چاهک ۲ هضم آنزیمی و کتور با دو آنزیم I و III NdeI و Hind III، چاهک ۳ و کتور pGEM حاوی قطعه و چاهک ۴ هضم تک آنزیم و کتور pGEM حاوی قطعه ما را توسط آنزیم NdeI نشان می دهد.

(تصویر شماره ۴ الف). در نهایت بیان توالی مورد نظر به کمک روش ایمونوبلات با آنتی بادی های نوروتوكسین بوتولینوم تیپ E تأیید گردید (تصویر شماره ۴ ب).



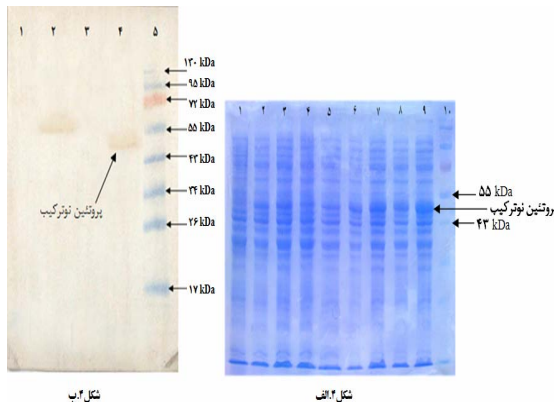
تصویر شماره ۳ الف: تصویر نتایج PCR و کتور pET28a جهت بررسی و تایید زیر همسانه سازی در کلئی های نوترکیب روی ژل آگارز ۱ درصد. چاهک ۱ مارکر DNA است. چاهک های ۲ و ۳ نتیجه PCR مثبت دو کلئی می باشد. چاهک ۴ کنترل منفی است کنترل منفی بوده و همه مواد واکنش PCR را دارا بوده به جز pET28a نوترکیب، که هم حجم آب مقطمر به مواد واکنش اضافه شد. ب: تصویر نتایج برش آنزیمی و کتور نوترکیب pET28a روی ژل آگارز ۱ درصد. چاهک ۱ مارکر DNA، چاهک ۲ برش آنزیمی دو گانه و کتور

زیر همسانه سازی در و کتور pET28a پس از تخلیص توالی نوکلئوتیدی و pET28a برش خورده با استفاده از ژل با دمای ذوب پایین و کیت تخلیص از ژل، واکنش الحقاق گذاشته شد. سپس محصول واکنش الحقاق به سلول های مستعد BL21 DE3 منتقل گردید. پس از کشت کلئی های به دست آمده در محیط LB مایع و تخلیص پلاسمید، صحت زیر همسانه سازی با روش واکنش PCR و هضم آنزیمی تأیید شد (تصاویر شماره ۳.الف و ۳.ب).

بررسی بیان و تأیید پروتئین بیانی بعد از کشت کلئی در محیط LB مایع و القاء با سلول ها جمع آوری شدند. با اضافه کردن بافر لیز کننده به سلول های جمع آوری شده و انجام سونیکاسانیون، ۲۰ میکرو لیتر از سوسپانسانیون حاصل برداشته شد و با بافر نمونه مخلوط و پس از جوشانده شدن بر روی ژل ۱۲ SDS-PAGE، الکتروفورز گردید. رنگ آمیزی ژل با کوماسی بلو نشان داد که پروتئینی هدف به میزان قابل توجه بیان شده است.

خصوص که توالی مورد نظر دارای مقادیر GC پایین و کدون های نادر می باشد. اما با وجود این مشکلات توالی *E. coli* BL21 مورد مطالعه به خوبی در باکتری میزبان DE3 (بیان شد. به نظر می رسد وجود یا عدم وجود کدون های نادر در ابتدای توالی نقش تعیین کننده ای در بیان آن داشته باشد و در صورت عدم حضور کدون های نادر برای چند اسید آمینه ابتدایی توالی، مشکل جدی برای بیان آن ایجاد نکند. در توالی کد کننده ناحیه کاتالیتیک نوروتوكسین بوتولینوم تیپ E، برای ۱۵ اسید آمینه ابتدایی آن کدون نادر وجود ندارد و با احتساب کدون های بر چسب هیستیدین و کدون های ناحیه حد فاصل بر چسب هیستیدین تا کدون آغاز توالی، در مجموع برای ۳۵ اسید آمینه ابتدایی پلی پیتید مذکور کدون نادر وجود ندارد. به نظر می رسد این پارامترها باعث شده است تا با وجود کدون های نادر پشت سر هم بخش های میانی، توالی مورد مطالعه به خوبی بیان شود. Agarwal و همکاران (۲۰۰۴) به منظور تعیین ساختار ناحیه کاتالیتیک نوروتوكسین بوتولینوم تیپ E اقدام به بیان نوترکیب پلی پیتید مذکور کردند. به نظر می رسد با توجه به نتیجه مثبت بررسی فعالیت آنزیمی توالی مورد مطالعه در گزارش Agarwal و همکاران، پروتئین نوترکیب تولید شده در این تحقیق نیز دارای فعالیت آنزیمی باشد (۲۰). آنتی توکسین های موجود با مجوز CDC، دارای محدودیت هایی از نظر دسترسی بوده، هزینه استفاده از آن ها بالا است. همچنین آنتی توکسین تنها تا قبل از اتصال سم به ریپتور خود در پایانه سلول عصبی و در مدت زمانی که توکسین در جریان خون باشد مؤثر است. بنابراین استفاده از این داروها دارای محدودیت درمانی می باشد و تنها در صورتی مؤثر خواهد بود که در یک بازه زمانی محدود (کمتر از ۱۲ ساعت) بعد از ظاهر بالینی اولیه علایم بوتولینوم استفاده شوند. در چند سال اخیر تحقیقات گسترده ای در جهت استفاده از مهار کننده هایی که بتوانند بعد از اتصال و ورود توکسین به سلول فعالیت کاتالیتیک زنجیره سبک را مهار کنند، انجام گرفته است.

نوترکیب pET28a با آنزیم های *NdeI* و *Hind III* چاهک ۳ برش تک آتریم و کتور نوترکیب *pET28a* با *Hind III* و چاهک ۴ و کتور نوترکیب *pET28a* تخلیص شده را نشان می دهد.



تصویر شماره ۴ الف: تصویر نتیجه الکتروفورز پروتئین بیان شده با استفاده از روش دناتوره روی پلاسمید نوترکیب pET28a درصد. ستون ۱: باکتری لیز شده حاوی پلاسمید نوترکیب pET28a پیش از القاء با ماده IPTG، ستون ۲ و ۳: باکتری لیز شده کلونی شماره ۱ حاوی پلاسمید نوترکیب pET28a به ترتیب ۳ و ۱۶ ساعت پس از القاء، ستون ۴ و ۵: باکتری لیز شده کلونی شماره ۲ حاوی پلاسمید نوترکیب pET28a به ترتیب ۳ و ۱۶ ساعت پس از القاء، ستون ۶ و ۷: باکتری لیز شده کلونی شماره ۳ حاوی پلاسمید نوترکیب pET28a به ترتیب ۳ و ۱۶ ساعت پس از القاء، ستون ۸ و ۹: باکتری لیز شده کلونی شماره ۴ حاوی پلاسمید نوترکیب pET28a به ترتیب ۳ و ۱۶ ساعت پس از القاء، ستون ۱۰: نشانگر وزن پروتئین. ب: تصویر وسترن بلاط ناحیه کاتالیتیک نوترکیب نوروتوكسین بوتولینوم تیپ E. ستون ۱: نمونه کنترل منفی (پروتئین BSA). ستون ۲: نمونه کنترل مثبت (پلی پیتید نوترکیب ناحیه اتصال دهنده نوروتوكسین بوتولینوم تیپ E که دارای ابی توب های قابل شناسایی توسط آنتی بادی استفاده شده می باشد). ستون ۳: نمونه کنترل منفی (محتوی پروتئینی باکتری های حاوی پلاسمید نوترکیب که با ماده IPTG تنشده اند). ستون ۴: نمونه پروتئین نوترکیب (ناحیه کاتالیتیک نوروتوكسین بوتولینوم تیپ E) بلاط شده. ستون ۵: نشانگر پروتئینی.

## بحث

جهت همسانه سازی توالی مورد مطالعه از وکتور pGEM-T Easy استفاده گردید. مزیت استفاده از این وکتور این است که نیازی به برش محصولات PCR برای الحاق به وکتور نمی باشد. به دلیل بیان هترولوگ، پیش بینی می شد میزان بیان خیلی ضعیف باشد. به

سم طراحی و ساخته می‌شوند بنابراین تولید سریع و کافی بخش کاتالیتیک سم به منظور بررسی عملکرد انواع مهارکننده‌ها روی فعالیت آنزیمی آن می‌تواند روند تحقیقات در این زمینه را تسريع کند لذا پلی‌پتید نوترکیب بیان شده در این تحقیق (که برای اولین بار در ایران انجام گرفته است) حائز اهمیت است و می‌تواند در تحقیقات بعدی جهت بررسی عملکرد انواع مهارکننده روی فعالیت آن، مورد استفاده قرار گیرد.

در پایان می‌توان نتیجه گیری کرد که بر اساس نتایج به دست آمده، تکثیر ژن از باکتری کلستریدیوم بوتولینوم تیپ E و همسانه‌سازی آن در وکتور pGEM-T Easy با صحت کامل انجام گرفت. همچنین نتایج بیان و تأیید صحت بیان، نشان داد که توالی مورد نظر در باکتری (DE3) *E. coli* BL21 به خوبی بیان شده است.

## سپاسگزاری

بدین وسیله از کمک‌های بی‌شایبه‌ی دکتر علی هاتف سلمانیان دانشیار محترم بخش زیست فن‌آوری پژوهشگاه ملی ژنتیک ایران و همکاران محترم ایشان تشکر و قدردانی می‌شود. همچنین از زحمات مهندس رضا صفری کارشناس ارشد میکروبیولوژی پژوهشکده اکولوژی دریای خزر مؤسسه تحقیقات شیلات ایران تشکر و قدردانی می‌گردد. این تحقیق حاصل پایان‌نامه دوره کارشناسی ارشد زیست‌شناسی گرایش علوم سلولی-مولکولی حسین رستمی در دانشگاه جامع امام حسین(ع) می‌باشد

از جمله، Adler و همکارانش (۲۰۰۸) طی یکسری آزمایشات اعصاب فرنیک موش را جدا کرده، به ترتیب در معرض نورو توکسین‌های تیپ A، B و E قرار دادند TSN (Toosendanin) سپس اعصاب آلوده شده را با (Toosendanin in Melia) به دست می‌آید) تیمار کردند. نتایج به دست آمده، نشان داد که اثر قابل ملاحظه‌ای در مهار عملکرد توکسین‌های هر سه تیپ A، B و E دارد. نتایج حاصل از این تحقیقات نشان داد که TSN پتانسیل کاندید شدن به عنوان یک داروی درمان کننده بوتولینوم را دارد و در مقایسه با آنتاگونیست‌ها (Antagonist) که قبلًا استفاده شده بود، عملکرد بهتری دارد (۲۴).

Lai و همکاران (۲۰۰۹) با انتشار نتیجه تحقیقات خود بیان کرده‌اند که مشتقهای کوینولینول دارای اثر مهاری بر روی فعالیت زنجیره سبک تیپ A می‌باشند (۲۵). تحقیقات دیگری نیز اخیراً در این زمینه انجام گرفته است اما هنوز مهار کننده مناسبی که ویژگی‌های لازم برای مهار فعالیت زنجیره سبک توکسین و درمان بوتولینوم را داشته باشد، طراحی و تولید نشده است علاوه بر آن بیشتر این تحقیقات برروی زنجیره سبک تیپ‌های A و B انجام گرفته، تحقیقات محدودی در مورد تیپ E در این زمینه صورت گرفته است. از طرفی با توجه به اهمیت و فراوانی تیپ E در ایران، تولید داروی مناسب برای درمان بوتولینوم ناشی از آن ضروری است. بیشتر داروهای مهارکننده فعالیت توکسین در واقع علیه بخش آنزیمی (ناحیه کاتالیتیک)

## References

- van Ermengem E. A New Anaerobic Bacillus and Its Relation to Botulism. *Reviews of Infectious Diseases* 1979; 1(4): 701-719.
- Dembek ZF, Smith LA, Rusnak JM. Botulism: cause, effects, diagnosis, clinical and laboratory identification, and treatment modalities. *Disaster Med Public Health Pre* 2007; 1(2): 122-134.
- Aoki KR. Future aspects of botulinum neurotoxins. *J Neural Transm* 2008; 115(4): 567-573.
- Tavakoli HR, Zeynali M, MehrabiTavana

- A. Scrutiny of Food-Borne Botulism Intoxication in Iran during 2003-2007 with the Food Hygiene View Point. Hakim 2009; 11(4): 38-46.
5. Werner E, Cowden M. Botulism in European Unions. Euro Surveillance monthly archives 2003; 4: 112-117.
6. Sobel J, Tucker N, Sulka A, McLaughlin J, Maslanka S. Foodborne Botulism in the United States, 1990-2000. *Emerg Infect Dis* 2004; 10(9): 1606-1611.
7. Aoki KR. Botulinum toxin: a successful therapeutic protein. *Curr Med Chem* 2004; 11(23): 3085-3092.
8. Emmeluth D. Botulism. 2<sup>nd</sup> ed. New York: Chelsea House; 2010.
9. Sobel J. Botulism. *Clin Infect Dis* 2005; 41(8): 1167-1173.
10. Burnett JC, Wang C, Nuss JE, Nguyen TL, Hermone AR, Schmidt JJ, et al. Pharmacophore-guided lead optimization: The rational design of a non-zinc coordinating, sub-micromolar inhibitor of the botulinum neurotoxin serotype a metalloprotease. *Bioorg. Med. Chem. Lett.* 2009; 19(19): 5811-5813.
11. Kumaran D, Rawat R, Ludivico M, Ahmed S, Swaminathan S. Structure- and substrate-based inhibitor design for *Clostridium botulinum* neurotoxin serotype A. *J Biol Chem* 2008; 283(27): 18883-18891.
12. Yiadom KP, Muhie S, Yang DC. Peptide inhibitors of botulinum neurotoxin by mRNA display. *Biochem Biophys Res Commun* 2005; 335(4): 1247-1253.
13. Dickerson T, Janda K. The use of small molecules to investigate molecular mechanisms and therapeutic targets for treatment of botulinum neurotoxin A intoxication. *ACS Chem. Biol* 2006; 1(6): 359-369.
14. Capkova K, Hixon MS, McAllister LA, Janda KD. Toward the discovery of potent inhibitors of botulinum neurotoxin A: development of a robust LC MS based assay operational from low to subnanomolar enzyme concentrations. *Chem. Commun* 2008; 14(30): 3525-3527.
15. Capkova K, Salzameda NT, Janda KD. Investigations into small molecule non-peptidic inhibitors of the botulinum neurotoxins. *Toxicon* 2009; 54(5): 575-582.
16. Grant E, Boldt Lisa M, Eubanks and Kim D. Boldt GE, Eubanks LM, Janda KD. Identification of a botulinum neurotoxin A protease inhibitor displaying efficacy in a cellular model. *Chem. Commun* 2006(29); 3063-3065.
17. Roxas-Duncan V, Enyedy I, Montgomery VA, Eccard VS, Carrington MA, Lai H, et al. Identification and Biochemical Characterization of Small-Molecule Inhibitors of *Clostridium botulinum* Neurotoxin Serotype A. *Antimicrob Agents Chemother* 2009; 53(8): 3478-3486.
18. Kumar G, Kumaran D, Ahmed SA, Swaminathan S. Peptide inhibitors of botulinum neurotoxin serotype A: design, inhibition, cocrystal structures, structure-activity relationship and pharmacophore modeling. *Acta Cryst* 2012; 68(Pt 5): 511-520.
19. Kukreja RV, Sharma SK, Singh BR. Molecular Basis of Activation of Endopeptidase Activity of Botulinum Neurotoxin Type E. *Biochem* 2010; 49(11): 2510-2519.
20. Agarwal R, Eswaramoorthy S, Kumaran D, Dunn JJ, Swaminathan S. Cloning, high level expression, purification, and crystallization of the full length *Clostridium botulinum*

- neurotoxin type E light chain. Protein Express Purif 2004; 34(1): 95–102.
21. Elaine AE, Pablo M, Lu Y, Elion EA, Marina P, Yu L. Constructing Recombinant DNA Molecules by PCR. Curr Protoc in Molecular Bio 2007; Chapter 3: Unit 3.17.
22. Dana MF, Rebecca P, Francis DM, Page R. Strategies to Optimize Protein Expression in *E. coli*. Curr Protoc Protein Sci 2010; Chapter 5: Unit 5.24. p. 1-29.
23. Sean G, Scott EW, Steven AF, John GRH, Gallagher S, Winston SE, Fuller SA, et al. Immunoblotting and Immunodetection. Curr Protoc in Cell Bio 2011; Chapter 6: Unit 6.2.
24. Adler M, Nicholson JD. Evaluation of toosendanin as a botulinum neurotoxin Antagonist. The Botulinum J 2008; 1(2): 208-218.
25. Lai H, Feng M, Roxas-Duncan V, Dakshanamurthy S, Smith LA, Yang DC. Quinolinol and peptide inhibitors of zinc protease in botulinum neurotoxin A: effects of zinc ion and peptides on inhibition. Arch Biochem Biophys 2009; 491(1-2): 75-84.